

Relatório ICIST DTC 13/99

Programa para Aplicação de um Modelo Híbrido-Misto de Tensão à Análise de Lajes

Mário Vicente da Silva
Eduardo M.B. Ribeiro Pereira

Outubro de 1999

ÍNDICE

1.	<i>Introdução</i>	I
2.	<i>Formulação</i>	2
2.1	Condições Fundamentais	2
2.2	Modelo Híbrido-Misto de Tensão	4
3.	<i>Organização do Programa</i>	6
3.1	Rotinas Principais	6
3.2	Geometria	7
3.3	Funções de Aproximação	7
3.4	Montagem do Sistema Governativo	9
3.4.1	Mudança de Coordenadas	9
3.4.2	Blocos do Sistema Governativo	12
3.4.3	Cálculo dos Operadores Elementares	13
4.	<i>Introdução dos Dados</i>	14
4.1	Estrutura do Ficheiro de Dados	14
4.1.1	Nós (1ºBloco)	15
4.1.2	Lados (2ºBloco)	15
4.1.3	Elementos (3ºBloco)	16
4.1.4	Carregamento (4ºBloco)	17
5.	<i>Pós-Processamento</i>	19
6.	<i>Bibliografia</i>	20
<i>ANEXO A - Exemplo de Aplicação</i>		21

1. INTRODUÇÃO

O presente relatório pretende descrever o modo de utilização/funcionamento de um programa para a análise elástica linear de lajes de Reissner, desenvolvido no âmbito do núcleo de Análise de Estruturas do Instituto de Engenharia de Estruturas Território e Construção do Instituto Superior Técnico, com apoio da Fundação para a Ciência e Tecnologia através do projecto PBICT/C/CEG/2342/95.

Este programa baseia-se numa formulação não convencional de elementos finitos: Híbridos-Mistas de Tensão. São utilizados Polinómios de Legendre como funções de aproximação de tensões e deslocamentos. Para modelar a geometria do domínio consideram-se elementos quadrangulares de 4 ou 8 nós.

Quanto ao carregamento considerou-se que a estrutura podia estar sujeita a dois tipos de cargas diferentes. O primeiro consiste em forças de massa transversais, sendo o segundo constituído por cargas aplicadas nas fronteiras estáticas.

Este programa foi escrito em *C Standard*, sobre uma plataforma de programação elaborada para o desenvolvimento de programas de elementos finitos para o cálculo de estruturas.

2. FORMULAÇÃO

Neste capítulo apresenta-se um pequeno resumo da formulação dos elementos finitos Híbridos-Mistas de Tensão para a análise de lajes de Reissner.

2.1 Condições Fundamentais

As condições fundamentais que regem os problemas de elasticidade plana podem ser expressas do seguinte modo,

Compatibilidade	Relações Constitutivas	Equilíbrio
$\varepsilon = D^*u \text{ em } V \quad (1)$	$f\sigma = \varepsilon \quad (3)$	$D\sigma + b = 0 \text{ em } V \quad (4)$
$u = \bar{u} \text{ em } \Gamma_u \quad (2)$		$N\sigma = t \text{ em } \Gamma_\sigma \quad (5)$

em que,

u é o vector que agrupa as componentes de deslocamento;

$$u^T = \{\theta_x \quad \theta_y \quad w\}$$

\bar{u} é o vector dos deslocamentos impostos nas fronteiras cinemáticas (Γ_u);

ε é o vector das componentes das deformações de laje;

$$\varepsilon^T = \{\chi_{xx} \quad \chi_{yy} \quad \chi_{xy} \quad \gamma_x \quad \gamma_y\}$$

σ é o vector das componentes dos esforços de laje;

$$\sigma^T = \{m_{xx} \quad m_{yy} \quad m_{xy} \quad v_x \quad v_y\}$$

b é o vector das forças de massa;

$$b^T = \{0 \quad 0 \quad q\}$$

t é o vector das forças generalizadas aplicadas nas fronteiras estáticas (Γ_σ);

$$t^T = \{m_x \quad m_y \quad p\}$$

D é o operador diferencial de equilíbrio;

$$D = \begin{bmatrix} \frac{\partial}{\partial x} & . & \frac{\partial}{\partial y} & -1 & . \\ . & \frac{\partial}{\partial y} & \frac{\partial}{\partial x} & . & -1 \\ . & . & . & \frac{\partial}{\partial x} & \frac{\partial}{\partial y} \end{bmatrix}$$

D^* é o operador diferencial de compatibilidade (adjunto de D);

$$D^* = \begin{bmatrix} \frac{\partial}{\partial x} & . & . \\ . & \frac{\partial}{\partial y} & . \\ \frac{\partial}{\partial y} & \frac{\partial}{\partial x} & . \\ 1 & . & \frac{\partial}{\partial x} \\ . & 1 & \frac{\partial}{\partial y} \end{bmatrix}$$

N é a matriz das componentes da normal exterior associada ao operador diferencial de equilíbrio;

f é a matriz de flexibilidade;

$$f = \frac{12}{E \cdot t^3} \begin{bmatrix} 1 & -\nu & . & . & . \\ -\nu & 1 & . & . & . \\ . & . & 2(1+\nu) & . & . \\ . & . & . & \frac{(1+\nu)t^2}{6\varphi} & . \\ . & . & . & . & \frac{(1+\nu)t^2}{6\varphi} \end{bmatrix}$$

onde E representa o módulo de elasticidade e ν o coeficiente de Poisson e φ o factor de forma ao corte para o qual se adopta o valor de $5/6$

2.2 Modelo Híbrido-Misto de Tensão

Neste tipo de elemento finito, são aproximados de modo independente os esforços e os deslocamentos no domínio:

$$\boldsymbol{\sigma} = S_V \cdot X_V \quad (6) \qquad \qquad u = U_V \cdot q_V \quad (7)$$

São igualmente aproximados os deslocamentos na fronteira estática,

$$u = U_\Gamma \cdot q_\Gamma \quad (8)$$

sendo S_V , U_V e U_Γ as matrizes das funções de aproximação e X_V , q_V e q_Γ os vector dos pesos das funções de aproximação.

As condições de compatibilidade e equilíbrio no domínio (1) e (4) são impostas de forma ponderada sendo utilizadas, respectivamente, como funções de ponderação as funções de aproximação dos esforços e dos deslocamentos no domínio:

$$\int_V S_V^T \boldsymbol{\epsilon} dV = \int_V S_V^T D^* u dV \quad (9)$$

$$\int_V U_V^T (D\boldsymbol{\sigma} + b) dV = 0 \quad (10)$$

Paralelamente, a condição de equilíbrio na fronteira estática (5) é imposta ponderadamente utilizando como funções de peso as funções de aproximação dos deslocamentos na fronteira,

$$\int_{\Gamma_\sigma} U_\Gamma^T (N\boldsymbol{\sigma}) d\Gamma_\sigma = \int_{\Gamma_\sigma} U_\Gamma^T \cdot t d\Gamma_\sigma \quad (11)$$

Introduzindo a aproximação do campo dos esforços (6) nas condições de equilíbrio (10) e (11) é possível descrever as condições de equilíbrio na forma:

$$A_V^T X_V = Q_V \quad (12)$$

$$- A_\Gamma^T X_V = Q_\Gamma \quad (13)$$

em que,

$$A_V = \int_V (DS_V)^T U_V dV \quad Q_V = - \int_V U_V^T \cdot b dV$$

$$A_\Gamma = \int_{\Gamma_\sigma} (NS_V)^T U_\Gamma d\Gamma_\sigma \quad Q_\Gamma = - \int_{\Gamma_\sigma} U_\Gamma^T \cdot t d\Gamma_\sigma$$

A condição de compatibilidade do modelo de elementos finitos,

$$e = A_\Gamma q_\Gamma - A_V q_V \quad (14)$$

relaciona as deformações generalizadas,

$$e = \int_V S_V^T \epsilon dV \quad (15)$$

com os parâmetros de deslocamento q_V e q_Γ , podendo ser obtida através de integração por partes da equação de compatibilidade (9) tendo em conta as aproximações (7) e (8)

$$e = \int_{\Gamma_\sigma} (NS_V)^T u d\Gamma_\sigma - \int_{\Gamma_\sigma} (DS_V)^T u dV$$

A introdução das relações constitutivas (3) na definição (15) permite escrever as relações constitutivas do modelo de elementos finitos na forma

$$e = FX_V \quad (16)$$

em que,

$$F = \int_V S_V^T f S_V dV$$

O sistema governativo é obtido pela combinação das relações de equilíbrio (12), (13) de compatibilidade (15) e constitutivas (16) através da eliminação das deformações generalizadas.

$$\begin{bmatrix} F & A_V & -A_\Gamma \\ A_V^T & \cdot & \cdot \\ -A_\Gamma^T & \cdot & \cdot \end{bmatrix} \begin{Bmatrix} X_V \\ q_V \\ q_\Gamma \end{Bmatrix} = \begin{Bmatrix} 0 \\ Q_V \\ Q_\Gamma \end{Bmatrix}$$

3. ORGANIZAÇÃO DO PROGRAMA

Neste capítulo é abordada genericamente a organização do programa por forma a possibilitar um entendimento mais fácil do seu funcionamento, sem se descreverem exaustivamente o modo de programação.

A plataforma de programação sobre a qual foi desenvolvido este programa cria, a partir de um ficheiro de dados, uma estrutura que descreve a topologia do problema. Com base nesta estrutura é posteriormente resolvido o sistema governativo de equações.

A resolução do sistema pode ser feita através de dois métodos distintos. O primeiro consiste no método de resolução iterativo dos gradientes conjugados, sendo o segundo o método de eliminação de Gauss, utilizando a rotina MA47 da biblioteca Harwell para sistemas esparsos e simétricos.

Esta plataforma esta preparada para processamento sequencial ou paralelo, sendo para este programa utilizado somente o processamento sequencial.

Deste modo, o programa é constituído por um conjunto de rotinas que definem a posição e a dimensão dos diferentes blocos que constituem o sistema governativo e que calculam os termos deste sistema. É ainda composto por uma rotina de pós-processamento, que executa o tratamento dos resultados obtidos.

3.1 Rotinas Principais

A interligação com a plataforma de programação é feita através das seguintes rotinas:

void LocalStructureSetup () – onde são lidos e introduzidos os dados nas estruturas locais;

int SetupParts (int current_subdomain) – define as organização/dimensões dos blocos que constituem a matriz do sistema governativo;

int ComputeMatrix (int current_subdomain) – rotina na qual se executa a montagem do triângulo superior da matriz do sistema;

int ComputeRhs (int which_subdomain) – efectua a montagem do vector dos termos independentes.

*int PostProc (char *nome)* – rotina na qual se executa o pós-processamento.

Estas rotinas são escritas pelo programador e variam consoante a formulação de elementos finitos utilizada.

3.2 Geometria

A modelação da geometria é feita através de três estruturas base, definidas na plataforma de programação: o Nó (*node*) , o Lado (*edge*) e o Elemento (*loop*).

Neste programa consideram-se apenas elementos com 4 lados, sendo cada lado constituído por 2 ou 3 nós, ficando assim definida a sua orientação do primeiro para o último nó.

Existem dois tipos distintos de elementos (os elementos de 4 ou 8 nós). Um elemento é considerado de 8 nós, sempre que pelo menos um dos seus lados tenha 3 nós, quando necessário são considerados nós virtuais a meio dos lados de 2 nós por forma a definir completamente o elemento de 8 nós.

Deste modo o programa permite a utilização simultânea de elementos com diferente número de nós sem que haja problemas de compatibilidade de geometria na estrutura.

3.3 Funções de Aproximação

Para a aproximação dos esforços (6) e dos deslocamentos no domínio (7) e nas fronteiras estáticas (8), utilizaram-se polinómios de Legendre. Estas funções de aproximação encontram-se no referencial local (ξ, η) dos elementos, de modo a simplificar as operações de integração necessárias à montagem dos operadores elementares.

O programa permite adoptar diferentes graus máximos para os polinómios de aproximação de cada esforço/deslocamento. É no entanto de referir que uma escolha inadequada dos graus máximos dos polinómios pode traduzir-se no aparecimento de modos espúrios no sistema governativo.

A estrutura adoptada para as funções de aproximação no domínio é:

$$S_V = \begin{bmatrix} P_\xi^0 P_\eta^0 & & & & & \\ & P_\xi^0 P_\eta^0 & & & & \\ & & P_\xi^0 P_\eta^0 & & & \\ & & & P_\xi^0 P_\eta^0 & & \\ & & & & P_\xi^0 P_\eta^0 & \\ & & & & & P_\xi^0 P_\eta^0 \end{bmatrix} \quad \left| \begin{array}{c} P_\xi^0 P_\eta^1 \\ P_\xi^0 P_\eta^1 \end{array} \right. \quad \dots \dots$$

$$U_V = \begin{bmatrix} P_\xi^0 P_\eta^0 & & & & & \\ & P_\xi^0 P_\eta^0 & & & & \\ & & P_\xi^0 P_\eta^0 & & & \\ & & & P_\xi^0 P_\eta^0 & & \\ & & & & P_\xi^0 P_\eta^0 & \\ & & & & & P_\xi^0 P_\eta^0 \end{bmatrix} \quad \left| \begin{array}{c} P_\xi^0 P_\eta^1 \\ P_\xi^0 P_\eta^1 \end{array} \right. \quad \dots \dots$$

representando P_x^i o polinómio de Legendre do grau i na direcção x

Para formar todas a combinações $P_\xi^i P_\eta^j$ adoptou-se um ciclo no qual, para cada grau do polinómio em ξ se percorria todos os graus do polinómio em η . Sempre que, numa combinação o grau i ou j for superior ao grau máximo adoptado na aproximação, a coluna que lhe corresponde não é considerada.

Apresenta-se a montagem da estrutura da matriz da função de aproximação dos esforços como exemplo, adoptado-se os graus 1 e 0 para a aproximação dos momentos e dos esforços transversos, respectivamente.

$$S_V = \begin{bmatrix} P_\xi^0 P_\eta^0 & . & . & . & P_\xi^0 P_\eta^1 & . & . & P_\xi^1 P_\eta^0 & . & . & P_\xi^1 P_\eta^1 & . & . \\ . & P_\xi^0 P_\eta^0 & . & . & . & P_\xi^0 P_\eta^1 & . & . & P_\xi^1 P_\eta^0 & . & . & P_\xi^1 P_\eta^1 & . & . \\ . & . & P_\xi^0 P_\eta^0 & . & . & . & P_\xi^0 P_\eta^1 & . & . & P_\xi^1 P_\eta^0 & . & . & P_\xi^1 P_\eta^1 & . & . \\ . & . & . & P_\xi^0 P_\eta^0 & . & . & . & P_\xi^0 P_\eta^1 & . & . & . & P_\xi^1 P_\eta^0 & . & . & P_\xi^1 P_\eta^1 & . & . \\ . & . & . & . & P_\xi^0 P_\eta^0 & . & . & . & . & P_\xi^1 P_\eta^0 & . & . & . & P_\xi^1 P_\eta^1 & . & . \end{bmatrix}$$

Para a aproximação dos deslocamentos nas fronteiras adoptou-se a seguinte estrutura:

$$U_r = \begin{bmatrix} P_\zeta^0 & P_\zeta^1 & \dots \\ P_\zeta^0 & P_\zeta^1 & \dots \\ P_\zeta^0 & P_\zeta^1 & \dots \end{bmatrix}$$

sendo ζ a coordenada local do lado.

3.4 Montagem do Sistema Governativo

A montagem dos termos que constituem o sistema governativo é realizada através de integrações analíticas, utilizando as propriedades de ortogonalidade dos Polinómios de Legendre. Para realizar estas integrações é necessário recorrer à matriz Jacobiana dado que as funções de interpolação estão escritas no referencial local do elemento.

3.4.1 Mudança de Coordenadas

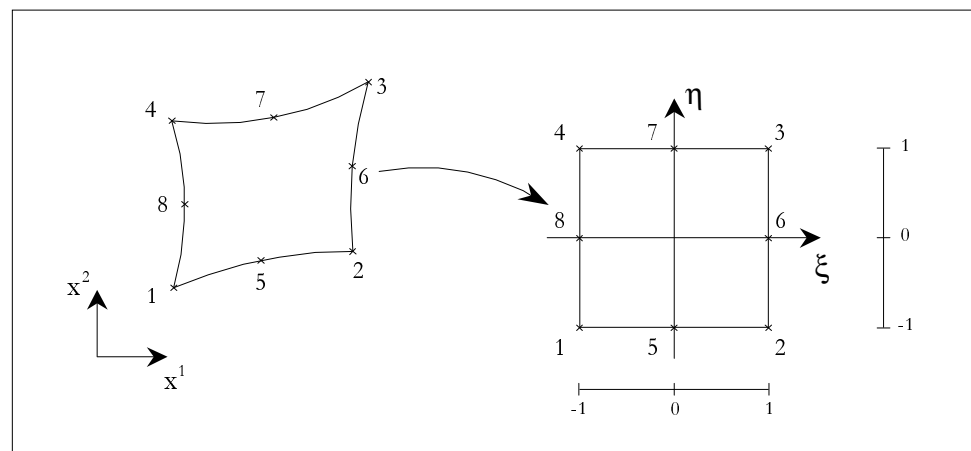


Figura 1 – Mudança de Coordenadas

No caso mais geral (o elemento de 8 nós) obtém-se a seguinte expressão para a transformação de coordenadas:

$$x^k = \sum_{i=1}^8 \varphi_i x_i^k \quad k = 1, 2 \quad (17)$$

onde φ_i são as funções de forma do elemento serendipiano de 8 nós e x_i^k são as coordenadas do nó i na direcção k

Sendo as funções φ_i polinómios, a expressão da transformação de coordenadas (17) pode ainda ser desenvolvida na sua forma polinomial:

$$x^k = \alpha_{00}^k + \alpha_{10}^k \xi + \alpha_{01}^k \eta + \alpha_{20}^k \xi^2 + \alpha_{11}^k \xi \eta + \alpha_{02}^k \eta^2 + \alpha_{21}^k \xi^2 \eta + \alpha_{12}^k \xi \eta^2$$

onde,

$$\begin{aligned} \alpha_{00}^k &= \frac{1}{2}(x_5^k + x_6^k + x_7^k + x_8^k) - \frac{1}{4}(x_1^k + x_2^k + x_3^k + x_4^k) & \alpha_{11}^k &= \frac{1}{4}(x_1^k - x_2^k + x_3^k - x_4^k) \\ \alpha_{10}^k &= \frac{1}{2}(x_6^k - x_8^k) & \alpha_{01}^k &= \frac{1}{2}(x_7^k - x_5^k) \\ \alpha_{12}^k &= \frac{1}{4}(x_3^k - x_1^k + x_2^k - x_4^k) - \frac{1}{2}(x_6^k - x_8^k) & \alpha_{21}^k &= \frac{1}{4}(x_3^k - x_1^k + x_4^k - x_2^k) - \frac{1}{2}(x_7^k - x_5^k) \\ \alpha_{20}^k &= \frac{1}{4}(x_1^k + x_2^k + x_3^k + x_4^k) - \frac{1}{2}(x_5^k + x_7^k) & \alpha_{02}^k &= \frac{1}{4}(x_1^k + x_2^k + x_3^k + x_4^k) - \frac{1}{2}(x_6^k + x_8^k) \end{aligned}$$

Para esta transformação de coordenadas a matriz Jacobiana e o seu determinante tomam as seguintes expressões:

$$J = \begin{bmatrix} x^1, \xi & x^2, \xi \\ x^1, \eta & x^2, \eta \end{bmatrix} \quad (18)$$

onde,

$$x^1, \xi = (\alpha_{10}^k + \alpha_{11}^k \eta + \alpha_{12}^k \eta^2) + 2(\alpha_{20}^k + \alpha_{21}^k \eta) \xi$$

$$x^2, \eta = (\alpha_{01}^k + \alpha_{11}^k \xi + \alpha_{21}^k \xi^2) + 2(\alpha_{02}^k + \alpha_{12}^k \xi) \eta$$

$$|J| = J_{00} + J_{10}\xi + J_{01}\eta + J_{20}\xi^2 + J_{11}\xi\eta + J_{02}\eta^2 + J_{30}\xi^3 + J_{21}\xi^2\eta + J_{12}\xi\eta^2 + J_{03}\eta^3 + J_{22}\xi^2\eta^2$$

(19)

com,

$$\begin{aligned} J_{00} &= \alpha_{10}^1 \alpha_{01}^2 - \alpha_{01}^1 \alpha_{10}^2 & J_{22} &= 3(\alpha_{21}^1 \alpha_{12}^2 - \alpha_{12}^1 \alpha_{21}^2) \\ J_{10} &= \alpha_{10}^1 \alpha_{11}^2 - \alpha_{11}^1 \alpha_{10}^2 + 2(\alpha_{20}^1 \alpha_{01}^2 - \alpha_{01}^1 \alpha_{20}^2) & J_{01} &= \alpha_{11}^1 \alpha_{01}^2 - \alpha_{01}^1 \alpha_{11}^2 + 2(\alpha_{10}^1 \alpha_{02}^2 - \alpha_{02}^1 \alpha_{10}^2) \\ J_{12} &= \alpha_{11}^1 \alpha_{12}^2 - \alpha_{12}^1 \alpha_{11}^2 + 4(\alpha_{21}^1 \alpha_{02}^2 - \alpha_{02}^1 \alpha_{21}^2) & J_{21} &= \alpha_{21}^1 \alpha_{11}^2 - \alpha_{11}^1 \alpha_{21}^2 + 4(\alpha_{20}^1 \alpha_{12}^2 - \alpha_{12}^1 \alpha_{20}^2) \\ J_{20} &= \alpha_{10}^1 \alpha_{21}^2 - \alpha_{21}^1 \alpha_{10}^2 + 2(\alpha_{20}^1 \alpha_{11}^2 - \alpha_{11}^1 \alpha_{20}^2) & J_{02} &= \alpha_{12}^1 \alpha_{01}^2 - \alpha_{01}^1 \alpha_{12}^2 + 2(\alpha_{11}^1 \alpha_{02}^2 - \alpha_{02}^1 \alpha_{11}^2) \\ J_{30} &= 2(\alpha_{20}^1 \alpha_{21}^2 - \alpha_{21}^1 \alpha_{20}^2) & J_{03} &= 2(\alpha_{12}^1 \alpha_{02}^2 - \alpha_{02}^1 \alpha_{12}^2) \\ J_{11} &= 2(\alpha_{10}^1 \alpha_{12}^2 + \alpha_{21}^1 \alpha_{01}^2 - \alpha_{01}^1 \alpha_{21}^2 - \alpha_{12}^1 \alpha_{10}^2) + 4(\alpha_{20}^1 \alpha_{02}^2 - \alpha_{02}^1 \alpha_{20}^2) \end{aligned}$$

O operador diferencial de equilíbrio, D , no sistema de coordenadas locais pode ser expresso do seguinte modo:

$$D = \frac{1}{|J|} D' - \begin{bmatrix} \cdot & \cdot & \cdot & 1 & \cdot \\ \cdot & \cdot & \cdot & \cdot & 1 \\ \cdot & \cdot & \cdot & \cdot & \cdot \end{bmatrix} \quad (20)$$

com,

$$D' = \begin{bmatrix} x^2, \eta & \cdot & -x^1, \eta & \cdot & \cdot \\ \cdot & -x^1, \eta & x^2, \eta & \cdot & \cdot \\ \cdot & \cdot & \cdot & x^2, \eta & -x^1, \eta \end{bmatrix} \frac{\partial}{\partial \xi} - \begin{bmatrix} x^2, \xi & \cdot & -x^1, \xi & \cdot & \cdot \\ \cdot & -x^1, \xi & x^2, \xi & \cdot & \cdot \\ \cdot & \cdot & \cdot & x^2, \xi & -x^1, \xi \end{bmatrix} \frac{\partial}{\partial \eta}$$

podendo também D' ser escrito na seguinte forma:

$$D' = (\mathcal{D}_{21}\xi^2 + 2\mathcal{D}_{12}\xi\eta + \mathcal{D}_{11}\xi + 2\mathcal{D}_{02}\eta + \mathcal{D}_{10}) \frac{\partial}{\partial \xi} - (\mathcal{D}_{12}\eta^2 + 2\mathcal{D}_{21}\xi\eta + \mathcal{D}_{11}\eta + 2\mathcal{D}_{20}\xi + \mathcal{D}_{10}) \frac{\partial}{\partial \eta}$$

sendo,

$$\mathcal{D}_{ij} = \begin{bmatrix} \alpha_{ij}^2 & \cdot & -\alpha_{ij}^1 & \cdot & \cdot \\ \cdot & -\alpha_{ij}^1 & \alpha_{ij}^2 & \cdot & \cdot \\ \cdot & \cdot & \cdot & \alpha_{ij}^2 & -\alpha_{ij}^1 \end{bmatrix}$$

É ainda possível escrever a matriz das componentes da matriz das componentes da normal, N , no sistema de coordenadas (ξ, η) :

$$N = \frac{1}{\sqrt{n_x^2 + n_y^2}} N' \quad (21)$$

$$N' = \begin{bmatrix} n_x & \cdot & n_y & \cdot & \cdot \\ \cdot & n_y & n_x & \cdot & \cdot \\ \cdot & \cdot & \cdot & n_x & n_y \end{bmatrix}, \quad n_x = \frac{\partial y}{\partial \zeta}, \quad n_y = -\frac{\partial x}{\partial \zeta}$$

onde ζ é a coordenada local do lado, tomando os valores $\pm\xi$ ou $\pm\eta$ consoante o lado em questão.

A matriz n de transformação das coordenadas locais do lado nas coordenadas globais (x, y) tem a seguinte expressão:

$$n = \frac{1}{\sqrt{n_x^2 + n_y^2}} n' \quad (22)$$

em que,

$$n' = \begin{bmatrix} n_x & -n_y & \cdot \\ -n_y & n_x & \cdot \\ \cdot & \cdot & \sqrt{n_x^2 + n_y^2} \end{bmatrix}$$

3.4.2 Blocos do Sistema Governativo

Adoptado a mudança de coordenadas (17), os blocos que constituem o sistema governativo podem ser expressos na seguinte forma:

$$F = \int_{-1}^1 \int_{-1}^1 S_V^T f S_V |J| d\xi d\eta \quad (23)$$

$$A_V = \int_{-1}^1 \int_{-1}^1 (D' S_V)^T U_V d\xi d\eta \quad (24)$$

$$A_\Gamma = \int_{-1}^1 (N' S_V)^T U_\Gamma d\zeta \quad (25)$$

$$Q_V = - \int_{-1}^1 \int_{-1}^1 U_V^T \cdot b |J| d\xi d\eta \quad (26)$$

$$Q_\Gamma = - \int_{-1}^1 U_V^T \cdot n \cdot t d\zeta \quad (27)$$

sendo o vector das tracções aplicadas na fronteira, t , escrito nas coordenadas locais do respectivo lado.

3.4.3 Cálculo dos Operadores Elementares

Com base nas expressões (23) a (27) e tendo em conta o tipo de aproximações adoptadas e as definições (19) a (22) é possível com base numa tabela de integrações como a apresentada no anexo A em [5], proceder à montagem dos operadores para cada elemento.

4. INTRODUÇÃO DOS DADOS

A introdução de dados é feita através de um ficheiro ASCII, cujo nome é o primeiro parâmetro de execução do programa.

A versão do programa é muito limitado quanto a detecção de dados mal introduzidos, pelo que o utilizador deve ser cuidadoso na criação do ficheiro de dados. Qualquer valor mal introduzido pode provocar a interrupção do programa ou produzir resultados não pretendidos.

De seguida descreve-se detalhadamente a estrutura do ficheiro de dados, sendo apresentado em anexo um exemplo de aplicação.

4.1 Estrutura do Ficheiro de Dados

A primeira linha do ficheiro deverá conter o título do exemplo a testar, não devendo este ter mais de 80 caracteres.

Seguem-se 4 blocos nos quais se fornece a informação necessária para a definição dos nós, dos lados, dos elementos e do carregamento. Para assinalar o final de cada bloco dever-se-á introduzir uma linha com o algarismo 0 (zero).

A última linha do ficheiro de dados deverá ser constituída dois números inteiros, os quais definem:

- i) o número de subdomínios, devendo este tomar sempre o valor 1 (uma vez que não estamos a utilizar um processamento em paralelo);
- ii) o modo de resolução, correspondendo o valor 0 ao modo de resolução iterativo e o valor 6 ao modo de resolução directo.

4.1.1 Nós (1° Bloco)

Cada linha do 1° bloco deverá ter a seguinte estrutura:

<i>id</i>	<i>x</i>	<i>y</i>	<i>idl</i>
-----------	----------	----------	------------

sendo,

<i>id</i>	número de identificação do nó (inteiro positivo)
<i>x</i>	coordenada do nó segundo x
<i>y</i>	coordenada do nó segundo y
<i>idl</i>	número de identificação de um lado que contem o nó

4.1.2 Lados (2° Bloco)

A estrutura das linhas do 2° bloco é:

<i>id</i>	<i>nnos</i>	<i>idn</i> ^{<i>i</i>} ... <i>idn</i> ^{<i>nnos</i>}	<i>eesq</i>	<i>edir</i>	<i>lccw</i>	<i>lcw</i>	<i>rccw</i>	<i>rcw</i>	<i>ref</i>	θ_1	θ_2	<i>w</i>
-----------	-------------	--	-------------	-------------	-------------	------------	-------------	------------	------------	------------	------------	----------

sendo,

<i>id</i>	número de identificação do lado (inteiro positivo)
<i>nnos</i>	número de nós do lado (2 ou 3)
<i>idn</i>^{<i>i</i>}	número de identificação do nó <i>i</i>
<i>eesq</i>	número de identificação do elemento à esquerda do lado
<i>edir</i>	número de identificação do elemento à direita do lado
<i>lccw</i>, <i>lcw</i>, <i>rccw</i>, <i>rcw</i>	número de identificação dos lados adjacentes (fig. 2)

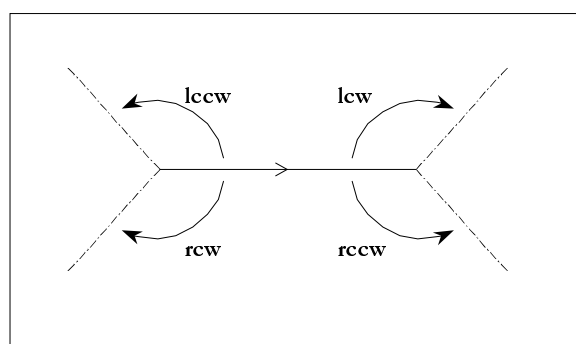


Figura 2 – Identificação dos Lados Adjacentes

- ref** referencial utilizado para o lado, correspondendo 0 ao referencial global e 1 ao referencial local
- θ_1, θ_2, w** grau máximo do polinómio de Legendre para a aproximação dos deslocamentos no lado (sendo possível impedir o deslocamento pretendido atribuindo ao grau o valor de -1)

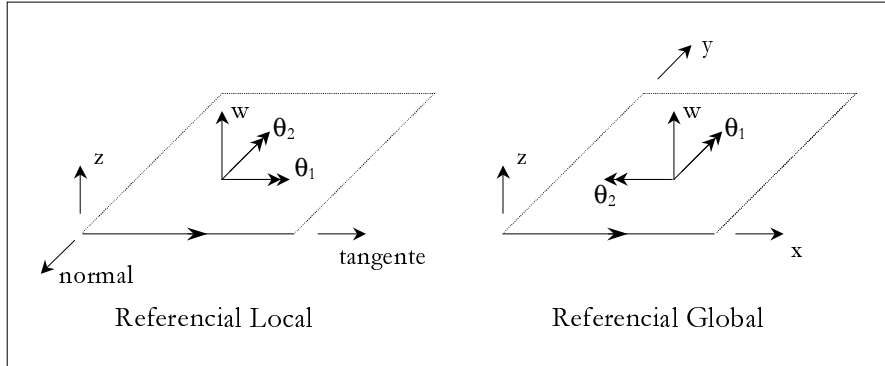


Figura 3 – Referenciais do Lado

4.1.3 Elementos (3° Bloco)

A estrutura das linhas do 3° bloco é:

<i>id</i>	<i>idl</i>	<i>sd</i>	m_{xx}	m_{yy}	m_{xy}	v_x	v_y	θ_x	θ_y	<i>w</i>	<i>E</i>	<i>v</i>	<i>t</i>
sendo,													
<i>id</i>													número de identificação do elemento (inteiro positivo)
<i>idl</i>													número identificação de um lado que pertence ao elemento
<i>sd</i>													identificação do subdomínio (deve ter sempre o valor 1)
$m_{xx}, m_{yy}, m_{xy}, v_x, v_y$													máximo grau do polinómio de Legendre para a aproximação do respectivo esforços no domínio
θ_x, θ_y, w													máximo grau do polinómio de Legendre para a aproximação do respectivo deslocamento no domínio
<i>E</i>													valor do módulo de elasticidade
<i>v</i>													valor do coeficiente de Poisson
<i>t</i>													valor da espessura da laje

4.1.4 Carregamento (4° Bloco)

A estrutura das linhas do 4° bloco é:

<i>id</i>	E/L	<i>idc</i>	<i>tca</i>	<i>nval</i>	<i>val</i> ¹ ... <i>val</i> ^{<i>nval</i>}
-----------	-----	------------	------------	-------------	---

sendo,

- id*** número de identificação do carregamento (inteiro positivo)
E/L o carácter E (*edge*) ou L (*loop*) identificam, respectivamente, se a carga se encontra aplicada na fronteira ou elemento. O programa não permite a aplicação de cargas em lados curvos.
idc número de identificação do lado/elemento carregado
tca este parâmetro só deve ser fornecido para uma carga aplicada na fronteira e define o tipo de carga aplicada¹:

<i>tca</i>	Tipo de Carga
0	Carregamento transversal (p)
1	Momento (m_1)
2	Momento (m_2)

sendo adoptado para o carregamento o referencial usado para lado

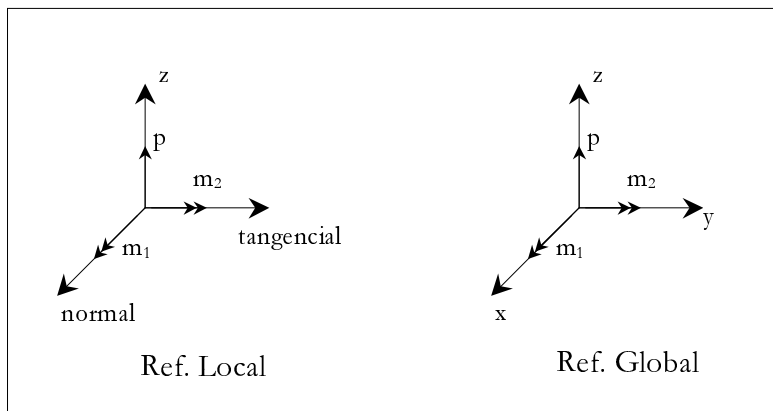
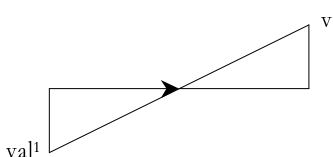
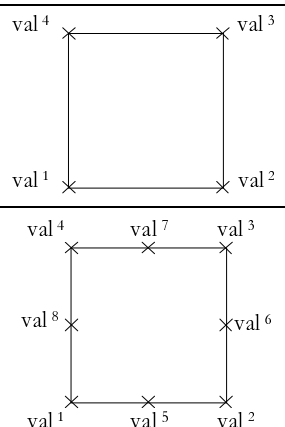
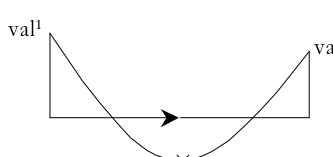
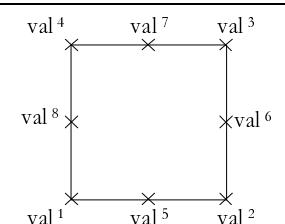


Figura 4 – Direcções do Carregamento

¹ Quando a carga se encontra aplicada num elemento assume-se que esta é uma carga transversal.

nval número de valores da carga fornecidos

valⁱ valor da carga na posição *i*

<i>nval</i>	Carga Aplicada no Lado (E)	<i>nval</i>	Carga Aplicada no Elemento (L)
1		1	carga uniformemente distribuída
2		4	
3		8	

5. PÓS-PROCESSAMENTO

Como resultado do pós-processamento o programa cria 2 ficheiros:

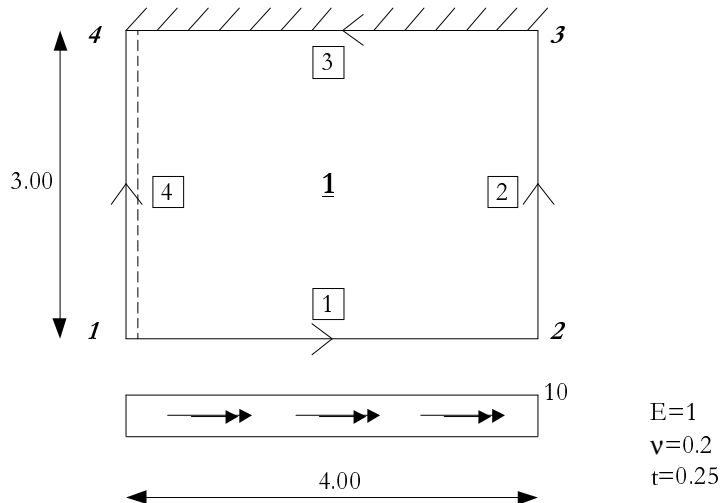
- i) o ficheiro com a extensão *.fis*, contém o valor dos esforços e dos deslocamentos no domínio, sendo o número de pontos nos quais se pretende calcular estes valores introduzido pelo utilizador durante a execução do pós -processamento.
- ii) no ficheiro com a extensão *.sol*/armazena-se, em formato binário de dupla precisão, a solução do sistema. São escritos em primeiro lugar os valores de X_v (para todos os elementos) seguidos dos valores de q_v (igualmente para todos os elementos) e finalmente os valores q_Γ (para todas as fronteiras estáticas), sendo a ordem dos valores definida pela estrutura adoptada para as matrizes das funções de aproximação (cap. 3.3).

Para uma análise mais fácil dos resultados obtidos, poder-se-á recorrer a um programa auxiliar que executa uma representação gráfica dos resultados, utilizando os ficheiros das soluções e da entrada de dados.

6. BIBLIOGRAFIA

- [1] E. M. B. R. Pereira, *Elementos Finitos de Tensão - Aplicação à Análise Elástica de Estruturas*, Tese de doutoramento, Universidade Técnica de Lisboa, (1993);
- [2] I. Cismasiu, J. P. Moitinho de Almeida, L. M. S. Castro e D. C. Harbis, *Parallel Solution Techniques for Hybrid Mixed Finite Element Models*, in Innovative Computational Methods for Structural Mechanics, Edited by M Papadrakakis and B.H.V. Topping, Saxe-Coburg Publications, Chapter 6, pp. 109-125, (1999);
- [3] *Harwell Subroutine Library*, Realease 11 – Vol. I, Theoretical Studies Department of AEA Technology, pp.377-384, UK (1993);
- [4] E. Reissner, *The effect of Transverse Shear Deformation on the Bending Elastic Plates*, J Appl Mech, Vol. 12, A69-A77, (1945);
- [5] M. Vicente da Silva e E. M. B. R. Pereira, *Programa para Aplicação de um Modelo Híbrido-Misto de Tensão à Análise de Placas*, Relatório ICIST DTC 12/99, (1999).

ANEXO A - EXEMPLO DE APLICAÇÃO



Nota: no domínio aproximaram-se os momentos, os esforços transversos, os deslocamentos transversais e as rotações por polinómios do 6º, 5º, 4º e 5º grau, respectivamente; na aproximação dos deslocamentos nas fronteiras estáticas utilizaram-se polinómios do 5º grau para os deslocamentos transversais e do 6º grau para as rotações.

Ficheiro de entrada de dados:

```

Exemplo de Laje
1 0.000 0.000      1
2 4.000 0.000      1
3 4.000 3.000      2
4 0.000 3.000      3
0
1 2   1   2   1   0   4   2   2   4   0   6   6   5
2 2   2   3   1   0   1   3   3   1   0   6   6   5
3 2   3   4   1   0   2   4   4   2   0   -1   -1   -1
4 2   1   4   0   1   1   3   3   1   0   6   -1   -1
0
1 1 1   6   6   6   5   5   5 5 4   1 .2 .25
0
1 E 1   1 1 10
0
1 0

```

Listagem do ficheiro .If:

***** * ESFORCOS * *****							
- ELEMENTO 1 -							
X	Y	Mxx	Myy	Mxy	Vx	Vy	
0.0000	0.0000	4.6522e-11	1.0000e+01	1.2577e-11	-1.0640e+02	1.1608e-12	
2.0000	0.0000	-1.1647e+00	1.0000e+01	1.0585e-11	-2.1807e+01	1.6402e-12	
4.0000	0.0000	8.5373e-12	1.0000e+01	3.6266e-11	-3.7536e-11	-1.4178e-11	
0.0000	1.5000	-2.6942e-13	6.0309e-01	-4.1260e+00	2.0139e-01	1.7964e+00	
2.0000	1.5000	3.5843e-01	5.4183e+00	-2.0328e+00	7.6324e-01	-9.0747e-01	
4.0000	1.5000	-2.0369e-11	6.9715e+00	2.3420e-11	6.8160e-12	1.3263e+00	
0.0000	3.0000	-4.1335e-12	-6.5081e-01	6.3144e-01	1.9007e+01	-5.6652e-01	
2.0000	3.0000	4.3510e-01	3.7538e+00	1.5236e-01	5.7472e+00	-3.4473e-01	
4.0000	3.0000	1.0069e-11	4.8458e+00	5.1476e-11	4.5491e-11	-7.9688e+00	

***** * DESLOCAMENTOS * *****				
- ELEMENTO 1 -				
X	Y	TETAX	TETAY	w
0.0000	0.0000	1.0402e+04	-1.9233e+03	2.6515e+01
2.0000	0.0000	4.8930e+03	-1.3761e+04	-1.6616e+04
4.0000	0.0000	7.9557e+02	-1.6549e+04	-2.1870e+04
0.0000	1.5000	1.8681e+03	-1.0431e+02	-4.6142e+00
2.0000	1.5000	1.3925e+03	-4.9062e+03	-3.4364e+03
4.0000	1.5000	-1.5542e+02	-6.8741e+03	-4.8373e+03
0.0000	3.0000	5.8087e+02	1.3662e+02	-2.9596e+01
2.0000	3.0000	4.3881e+01	-5.5236e+00	-4.5594e+00
4.0000	3.0000	-3.6381e+02	-7.3042e+00	-7.3030e+00